

AINDA SÔBRE AS "FÓRMULAS DIRETAS" DE ANSHELES*

EDUARDO A. SALGADO

E. S. A. "LUIZ DE QUEIROZ"

1. INTRODUÇÃO

Em trabalho anterior (*Anais da Escola Superior de Agricultura "Luiz de Queiroz", 1960*) deduzimos as "fórmulas diretas" de Ansheles, valendo-nos da projeção estereográfica.

Fazemos, agora, outra dedução das mesmas fórmulas, utilizando principalmente a projeção gnomônica e dando às fórmulas deduzidas os números com que são designadas na *Cristalografia de BOLDYREV (1934)*.

2. DEDUÇÃO

SISTEMA RÔMBICO

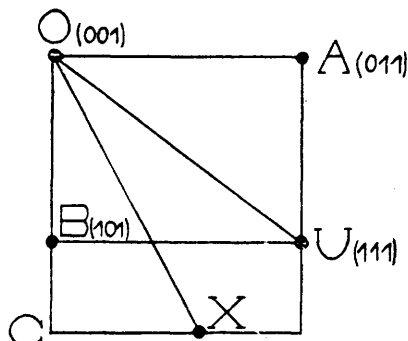
Na figura 1,
 $OB = m_1$, $OC = m$, $OA = y_1$, $CX = y$

Tem-se, para simbolo da face X:

$$h:k:1 = \frac{m}{m_1} : \frac{y}{y_1} : 1 \quad (1)$$

Sabe - se que

$$OX = \tan \varphi_X \quad \text{e} \quad OU = \tan \varphi_U.$$



No triângulo OCX:

FIGURA 1

$$m = OX \cdot \sin \varphi_X = \tan \varphi_X \cdot \sin \varphi_X; \quad y = OX \cdot \cos \varphi_X = \tan \varphi_X \cdot \cos \varphi_X.$$

* Recebido para publicação em 17/7/62.

Do triângulo AOU tira-se, identicamente :

$$m_1 = \operatorname{tg} \rho U \cdot \operatorname{sen} \varphi U; y_1 = \operatorname{tg} \rho U \cdot \cos \varphi U$$

Levando os valores assim obtidos em (1), vem :

$$h : k : 1 = \frac{\operatorname{tg} \rho X \cdot \operatorname{sen} \varphi X}{\operatorname{tg} \rho U \cdot \operatorname{sen} \varphi U} : \frac{\operatorname{tg} \rho X \cdot \cos \varphi X}{\operatorname{tg} \rho U \cdot \cos \varphi U} : 1.$$

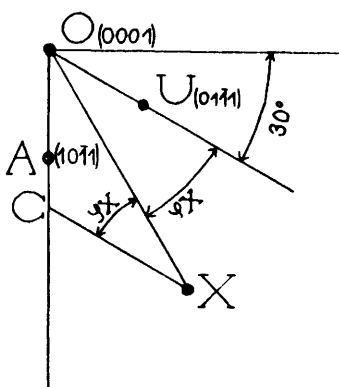
Multiplicando por $\frac{\operatorname{cotg} \rho X}{\operatorname{cotg} \rho U}$ obtem-se [14] .

$$\text{Tem-se: } \operatorname{cotg} \varphi X = \frac{y}{m} \quad \text{e} \quad \operatorname{cotg} \varphi U = \frac{y_1}{m_1} .$$

De (1) tira-se :

$$\frac{y}{m} = \frac{k}{h} \cdot \frac{y_1}{m_1} \quad \therefore \quad \operatorname{cotg} \varphi X = \frac{k}{h} \cdot \operatorname{cotg} \varphi U \quad [15]$$

SISTEMA HEXAGONAL



Símbolo da face X
(suprimindo o índice relativo
ao eixo W) :

$$\frac{OC}{OA} : \frac{CX}{OU} = 1 : 1 \quad (1)$$

No triângulo OCX
obtem-se (figura 2) :

FIGURA 2

$$\frac{OC}{\sin \varphi X} = \frac{CX}{\sin \{90 - (\varphi X + 30)\}} = \frac{OX}{\sin 120}$$

$$\therefore \frac{OC}{\sin \varphi X} = \frac{CX}{\sin (60 - \varphi X)} = \frac{\operatorname{tg} \ell X}{\sin 60} \quad (2)$$

Levando em (1) os valores de OC e CX, tirados de (2)
e, ainda, OA = OU = $\operatorname{tg} \ell U$, tem-se:

$$h : k : l = \frac{\operatorname{tg} \ell X \cdot \sin \varphi X}{\operatorname{tg} \ell U \cdot \sin 60} : \frac{\operatorname{tg} \ell X \cdot \sin (60 - \varphi X)}{\operatorname{tg} \ell U \cdot \sin 60} :$$

Multiplicando por $\frac{\operatorname{cotg} \ell X}{\operatorname{cotg} \ell U}$ chega-se à [26]

De (1) tira-se: $OC = h \cdot \operatorname{tg} \ell U$ e $CX = k \cdot \operatorname{tg} \ell U$.
Levando estes valores em (2):

$$\frac{h}{\sin \varphi X} = \frac{2k}{\sqrt{3} \cos \varphi X - \sin \varphi X} \quad \therefore \operatorname{cotg} \ell X = \frac{h + 2k}{\sqrt{3} h} \quad [27]$$

SISTEMA MONOCLÍNICO

Primeiro caso-orientação segundo [001]

Tem-se (figura 3):
 $OR = \operatorname{tg} \ell R$, $RC = m$, $RB = m_1$,
 $BU = y_1$, $CX = y$, $OX = \operatorname{tg} \ell X$,
 $OU = \operatorname{tg} \ell U$. Símbolo de X:

$$h:k:l = \frac{m}{m_1} : \frac{y}{y_1} : 1 \quad (1)$$

Da figura 3 obtem-se:

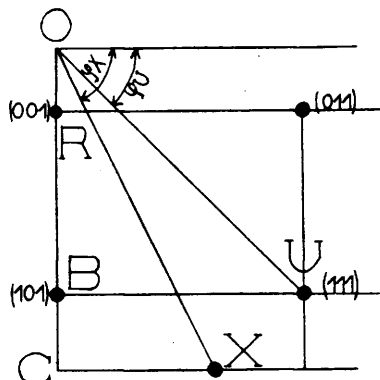


FIGURA 3

$$m = OC - OR = \tan \varphi X \cdot \sin \varphi X - \tan \varphi R; m_1 = OB - OR = \tan \varphi U.$$

$$\therefore \sin \varphi U = \tan \varphi R; y = \tan \varphi X \cdot \cos \varphi X; y_1 = \tan \varphi U.$$

.. $\cos \varphi U$ (2).

Levando-se estes valores em (1) chega-se a [8].

$$\text{Tem-se, ainda: } \tan \varphi X = \frac{OR + m}{y} = \frac{\tan \varphi R + m}{y}$$

Substituindo aqui m e y , respectivamente, por hm_1 e ky_1 , valores tirados de (1), e substituindo m_1 , y_1 pelos seus valores (2), obtém-se:

$$\tan \varphi X = \frac{h}{k} \tan \varphi U + \frac{\tan \varphi R (1 - h)}{k \cdot \tan \varphi U \cdot \cos \varphi U} \quad [9]$$

Segundo caso-orientação segundo (001)

A face X, de simbolo (hkl), determina nos eixos cristalográficos X, Y, Z, respectivamente, as intersecções

$$OA = \frac{a}{h}, OB = \frac{b}{k}, OC = \frac{c}{l}$$

Da figura 4, contendo os eixos X, Y e na qual OD é normal a AB, tira-se:

$$OD = \frac{a}{h} \sin \varphi X = \frac{b}{k} \cos \varphi X \quad (1)$$

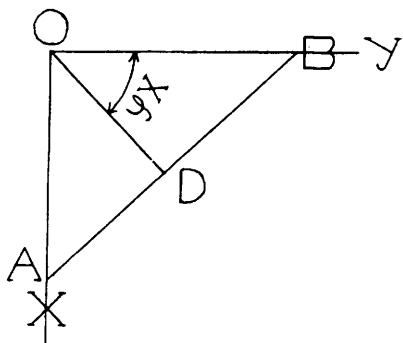


FIGURA 4

Tome-se um eixo auxiliar OZ' , no plano XOZ , que seja normal ao plano XY e no qual a face X determina a intersecção OE (figura 5). Sendo semelhantes os triângulos AOE e AFC , tem-se:

$$\frac{OE}{CF} = \frac{OA}{OA + OF} \quad (2)$$

Tem-se, ainda:

$$CF = \frac{c}{1} \cdot \cos(\theta - 90), \quad OF = \frac{c}{1} \cdot \sin(\theta - 90).$$

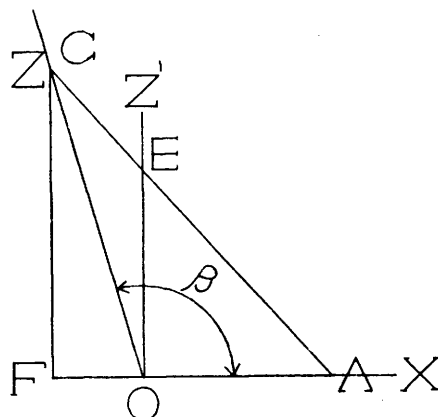


FIGURA 5

Levando êstes valores de CF e OF e, ainda, de $a \cdot \sin \theta$

$$OA = \frac{h}{\sin \theta} \text{ em (2), obtém-se: } OE = \frac{ac \cdot \sin \theta}{al - ch \cdot \cos \theta} \quad (3).$$

Sabe-se que

$$\begin{aligned} \theta P &= 180 - \theta \therefore \sin(180 - \theta) = \\ &= \sin \theta = \sin \theta P \text{ e } \cos(180 - \theta) = \\ &= -\cos \theta = \cos \theta P. \end{aligned}$$

Substituindo em (3), tem-se:

$$OE = \frac{ac \cdot \sin \theta P}{al + ch \cdot \cos \theta P} \quad (4).$$

Da figura 6 obtem-se:

$$OD = OE \cdot \cotg \rho X.$$

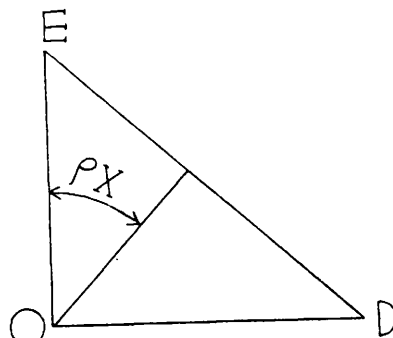


FIGURA 6

Substituindo aqui OE pelo seu valor (4), tem-se :

$$OD = \frac{ac \cdot \sin \varphi P \cdot \cotg \varphi X}{al + ch \cdot \cos \varphi P} \quad (5). \text{ De (5) obtem-se:}$$

$$l = \frac{ac \cdot \sin \varphi P \cdot \cotg \varphi X}{a \cdot OD} - \frac{ch \cdot OD \cdot \cos \varphi P}{a \cdot OD} \quad (6)$$

Substituindo em (6) h por $\frac{\operatorname{asen} \varphi X}{OD}$, valor tirado de

(1), e multiplicando o segundo membro por OD, vem :

$$l = c \left\{ \sin \varphi P \cdot \cotg \varphi X - \operatorname{sen} \varphi X \cdot \cos \varphi P \right\}. \text{Temos, então:}$$

$$h = \operatorname{asen} \varphi X; k = b \cos \varphi X; l = c \left\{ \sin \varphi P \cdot \cotg \varphi X - \operatorname{sen} \varphi X \cdot \cos \varphi P \right\}.$$

Dividindo os três índices por $\sin \varphi P$, tem-se :

$$h = \frac{\operatorname{asen} \varphi X}{\sin \varphi P}, k = \frac{b \cos \varphi X}{\sin \varphi P}, l = c \left\{ \cotg \varphi X - \cotg \varphi P \cdot \operatorname{sen} \varphi X \right\} \quad (7)$$

Ter-se-á, para a face parametral :

$$1 = \frac{\operatorname{asen} \varphi U}{\sin \varphi P}, 1 = \frac{b \cos \varphi U}{\sin \varphi P}, l = c \left\{ \cotg \varphi U - \cotg \varphi P \cdot \operatorname{sen} \varphi U \right\} \quad (8)$$

Tirando de (8) os valores de $\sin \varphi P$ e c e levando-os em (7) obtem-se, finalmente :

$$h:k:l = \frac{\operatorname{sen} \varphi X}{\operatorname{sen} \varphi U} : \frac{\cos \varphi X}{\cos \varphi U} : \frac{\cotg \varphi P \cdot \operatorname{sen} \varphi X - \cotg \varphi X}{\cotg \varphi P \cdot \operatorname{sen} \varphi U - \cotg \varphi U} \quad [11]$$

SISTEMA TRICLÍNICO

Primeiro caso-orientação segundo [001]

$$\text{Símbolo de } X: h:k:l = \frac{MA_1}{MB} : \frac{CX}{DU} : 1 \quad (1)$$

Tem-se (figura 7):
 $MA_1 = OA_1 - OM \quad (2)$

Tem-se: no triângulo OEX,
 $OE = \operatorname{tg} \varphi X \cdot \operatorname{sen} \varphi X ;$

no triângulo OEA₁,

$$OA_1 = \frac{OE}{\operatorname{sen} \varphi P} = \frac{\operatorname{tg} \varphi X \cdot \operatorname{sen} \varphi X}{\operatorname{sen} \varphi P},$$

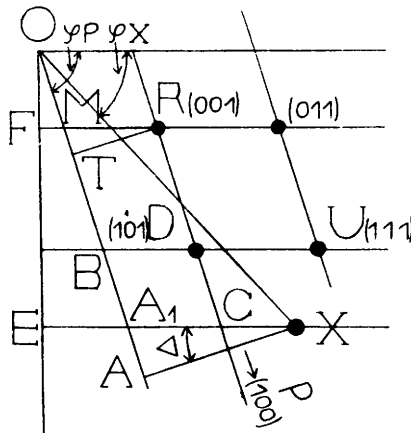


FIGURA 7

e no triângulo OFR, $OF = \operatorname{tg} \varphi R \cdot \operatorname{sen} \varphi R$
 $OM = \frac{OF}{\operatorname{sen} \varphi P} = \frac{\operatorname{tg} \varphi R \cdot \operatorname{sen} \varphi R}{\operatorname{sen} \varphi P}$

Levando os valores de OA_1 e OM em (2), vem:

$$MA_1 = \frac{\operatorname{tg} \varphi X \cdot \operatorname{sen} \varphi X - \operatorname{tg} \varphi R \cdot \operatorname{sen} \varphi R}{\operatorname{sen} \varphi P} \quad (3)$$

Ter-se-á, identicamente:

$$MB = \frac{\operatorname{tg} \varphi U \cdot \operatorname{sen} \varphi U - \operatorname{tg} \varphi R \cdot \operatorname{sen} \varphi R}{\operatorname{sen} \varphi P} \quad (4)$$

Do triângulo OAX tira-se: $AX = \operatorname{tg} \varphi X \cdot \operatorname{sen} (\varphi P - \varphi X)$ e
do triângulo AXA₁: $AX = A_1 X \cdot \cos \Delta \therefore A_1 X \cdot \cos \Delta = \operatorname{tg} \varphi X \cdot \operatorname{sen} (\varphi P - \varphi X)$ (5)

Tem-se, no triângulo ORT: $RT = \operatorname{tg} \varphi R \cdot \operatorname{sen} (\varphi P - \varphi R)$ e
no triângulo MRT: $RT = MR \cdot \cos \Delta = A_1 C \cdot \cos \Delta \therefore A_1 C \cos \Delta = \operatorname{tg} \varphi R \cdot \operatorname{sen} (\varphi P - \varphi R)$ (6).

Tem-se: $CX = A_1 X - A_1 C$. Substituindo, nesta expressão, $A_1 X$ e $A_1 C$ pelos valores obtidos em (5) e (6), obtem-se:

$$CX = \frac{\operatorname{tg} \varphi X \cdot \operatorname{sen}(\varphi P - \varphi X) - \operatorname{tg} \varphi R \cdot \operatorname{sen}(\varphi P - \varphi R)}{\cos \Delta} \quad (7)$$

Obter-se-á, de maneira idêntica :

$$DU = \frac{\operatorname{tg} \varphi U \cdot \operatorname{sen}(\varphi P - \varphi U) - \operatorname{tg} \varphi R \cdot \operatorname{sen}(\varphi P - \varphi R)}{\cos \Delta} \quad (8)$$

Levando os valores obtidos em (3), (4), (7) e (8) na expressão (1) chega-se à fórmula [2].

Segundo caso-orientação segundo (001)

Na figura 8 estão representados os eixos cristalográficos X_1, Y_1, Z_1 ; o eixo Y , a partir do qual são medidas as coordenadas φ ; o polo X da face que intercepta o plano do desenho segundo a linha AB_1 e cujo símbolo se quer determinar; o ângulo Δ , compreendido entre Y e Y_1 . No triângulo ODB obtem-se:

$$OD = \frac{b}{k} \cdot \cos(\varphi X - \Delta). \text{ Como } \Delta = \varphi P - 90^\circ :$$

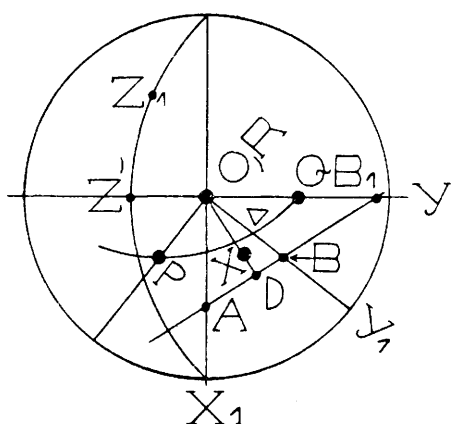


FIGURA 8

$$OD = \frac{b}{k} \cdot \cos\{(\varphi X - \varphi P) + 90^\circ\} =$$

$$= \frac{b}{k} \cdot \sin(\varphi P - \varphi X).$$

Do triângulo ODB_1 tira-se:

$$OB_1 = \frac{b \cdot \sin(\varphi P - \varphi X)}{k \cdot \cos \varphi X}.$$

Coloque-se no plano do desenho o plano do círculo máximo $X_1 Z' Z_1$, que contém o eixo auxiliar Z' . Tem-se como anteriormente

para o sistema monoclinico (figura 5) :

$$\frac{OE}{CF} = \frac{OA}{OA+OF} \therefore \frac{OE}{OC \cdot \sin \theta} = \frac{OA}{OA - OC \cdot \cos \theta} \quad (1).$$

Ponha-se no plano do papel o plano do círculo máximo $Z'OB_1$. A face do polo X determina, na reta de polo O, o segmento OE_1 (figura 9) e tem-se:

$$\frac{OE_1}{EF_1} = \frac{OB_1}{OB_1 + OF_1} \therefore \frac{OE_1}{OE \cdot \sin \theta Q} = \frac{OB_1}{OB_1 + OE \cdot \cos \theta Q} \quad (2).$$

No triângulo esférico PQO (figura 8) o ângulo formado pelos círculos máximos PQ e $Z'Q$ é igual a $180 - \theta$. Desse triângulo obtém-se:

$$\cotg \theta P \cdot \sin \theta Q = \cos \theta Q \cdot \cos \varphi P + \sin \varphi P \cdot \cotg (180 - \theta) = \\ = \cos \theta Q \cdot \cos \varphi P - \sin \varphi P \cdot \frac{\cos \theta}{\sin \theta}$$

Fazendo $\cotg \theta P \cdot \sin \theta Q = m$ e $\cos \theta Q \cdot \cos \varphi P = n$, transforma-se a expressão anterior em:

$$\sin \theta (m-n) = - \sin \varphi P \cdot \cos \theta \therefore \frac{\sin \theta}{\cos \theta} = \frac{-\sin \varphi P}{m-n},$$

de onde se tira: $\sin \theta = - T \cdot \sin \varphi P$ e $\cos \theta = T(m-n)$, sendo T um coeficiente de proporcionalidade. Substituindo estes valores de $\sin \theta$ e $\cos \theta$ na expressão (1), vem:

$$OE = \frac{-OA \cdot OC \cdot \sin \varphi P \cdot T}{OA - OC \cdot T(m-n)} \quad (3).$$

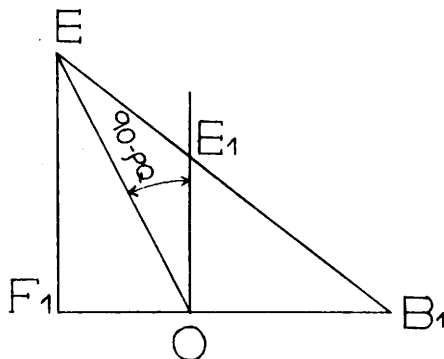


FIGURA 9

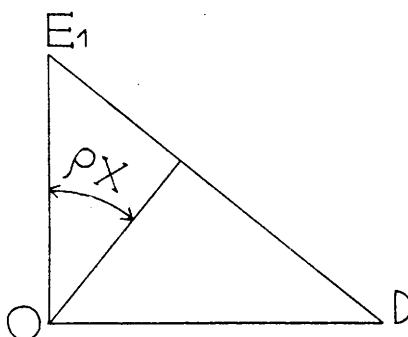


FIGURA 10

Levando este valor de OE_1 na expressão (2), obtem-se :

$$OE_1 = \frac{-L_1 \cdot OB_1 \cdot \sin \varphi Q}{L \cdot OB_1 - L_1 \cdot \cos \varphi Q}$$

onde $L_1 = OA \cdot OC \cdot \sin \varphi P.T e$

$L = OA - OC (m-n). T$

Temos, ainda (figura 10), no triângulo retângulo DOE_1 : $OD = OE_1 \cdot \cotg \varphi X$ (4).

Substituindo em (4) OE_1 pelo seu valor anteriormente achado, obtem-se :

$$OD = \frac{-L_1 \cdot \sin \varphi Q \cdot OB_1 \cdot \cotg \varphi X}{L \cdot OB_1 - L_1 \cdot \cos \varphi Q} \quad (5)$$

Substituindo em (5) OB_1 pelo seu valor $\frac{OD}{\cos \varphi X}$, tira

do do triângulo retângulo DOB_1 (figura 8), obtem-se :

$$OD \left(L \cdot \frac{OD}{\cos \varphi X} - L_1 \cdot \cos \varphi Q \right) = -L_1 \cdot \sin \varphi Q \cdot \frac{OD}{\cos \varphi X} \cdot \cotg \varphi X$$

Multiplicando ambos os membros da expressão anterior por $\frac{\cos \varphi X}{OD}$

obtem-se : $L \cdot OD = L_1 (\cos \varphi Q \cdot \cos \varphi C - \sin \varphi Q \cdot \cotg \varphi X)$ (6).

Substituindo na expressão (6) L e L_1 pelos seus valores, dividindo ambos os membros por OA e substituindo $\frac{OD}{OA}$ por $\sin \varphi X$, obtem-se :

$$T \cdot OC \left\{ \sin \varphi X (m-n) + \sin \varphi P \cdot \cos \varphi Q \cdot \cos \varphi X - \sin \varphi P \cdot \sin \varphi Q \cdot \cotg \varphi X \right\} = OD \quad (7)$$

Substituindo em (7) m e u por seus valôres e dividindo a expressão por $\sin \varphi Q$, obtem-se :

$$\begin{aligned} T \cdot OC \left\{ \cotg \varphi P \cdot \sin \varphi X - \cotg \varphi X \cdot \sin \varphi P + \cotg \varphi Q \cdot \right. \\ \left. \cdot \sin (\varphi P - \varphi X) \right\} = \frac{OD}{\sin \varphi Q} \quad (8) \end{aligned}$$

Substituindo, na expressão (8), OC por $\frac{c}{1}$ e designando

por M a expressão delimitada pelas chaves, tira-se :

$$l = \frac{cTM \cdot \sin \varphi Q}{OD},$$

Chegou-se, assim, a obter :

$$h = \frac{a \cdot \sin \varphi X}{OD}; k = \frac{b \cdot \sin (\varphi P - \varphi X)}{OD}; l = \frac{cTM \cdot \sin \varphi Q}{OD} \quad (9)$$

De (9) tira-se, para a face parametral :

$$a = \frac{OD}{\sin \varphi U}; b = \frac{OD}{\sin (\varphi P - \varphi U)}; c = \frac{OD}{TM \cdot \sin \varphi Q} \quad (10).$$

Levando em (9) os valôres de a, b, c que ocorrem em (10), chega-se à fórmula [5].

3. RESUMO

As "fórmulas diretas" de Ansheles, deduzidas pelo autor, anteriormente, através da projeção estereográfica, são agora deduzidas por via diferente, principalmente com o auxílio da projeção gnomônica.

4. SUMMARY

The "direct formulas" by Ansheles, previously deduced by the author through the stereographic projection, are now

deduced by means of a different way, especially with the help of the gnomonic projection.

5. REFERÊNCIAS BIBLIOGRÁFICAS

1. BOEKE, H.E. - Die gnomonische Projektion in ihrer Anwendung auf kristallographische Aufgaben. Berlin, Verlag Gebrüder Borntraeger, 1913 .
2. BOLDYREV, A.K. - Cristalografia. Versão do russo para o espanhol por Rafael Candel Vila. Barcelona, Editorial Labor S.A., 1934.